## В.М. Мясоеденков, Г.А. Носов *МИТХТ им. М.В. Ломоносова*

## ВЫПАРНАЯ КРИСТАЛЛИЗАЦИЯ С ИСПОЛЬЗОВАНИЕМ ПАРОВОГО ИНЖЕКТОРА

УДК66.065.5

Выполнен анализ эффективности использования парового инжектора в установке выпарной кристаллизации. Показано, что применение парового инжектора позволяет снизить энергетические затраты на проведение процесса выпарной кристаллизации.

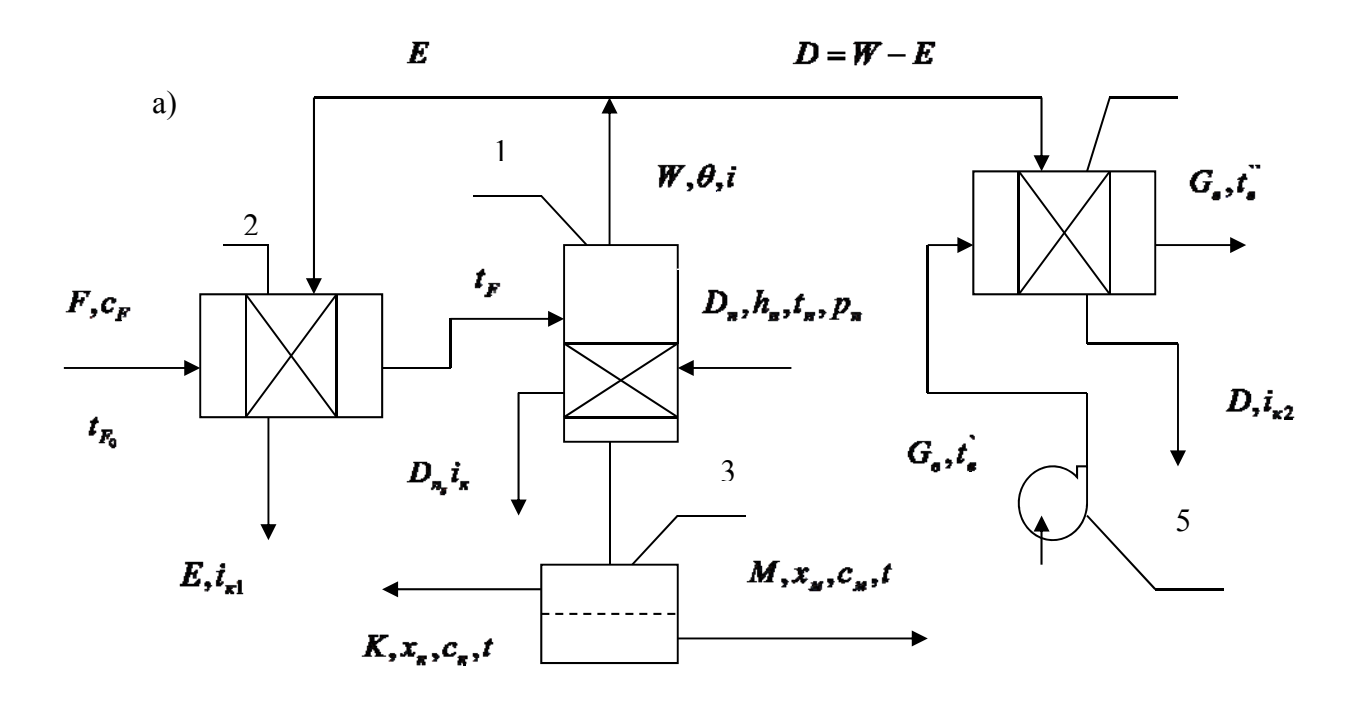
Повторное использование вторичного пара с предварительным сжатием его в компрессоре ИЛИ инжекторе практикуется в процессах выпаривания Установки такого типа соответственно название: или выпарные аппараты с полным тепловым насосом, или выпарные аппараты с частичным насосом. "Полный" тепловым или "частичный" названии **установки** обусловлены полным частичным повторным использованием вторичного Очевидно, что такой способ пара. экономии первичного греющего пара может быть реализован и в процессах изотермической (выпарной) кристаллизации.

Ранее [2] было показано преимущество выпарной кристаллизации c полным тепловым насосом ПО сравнению обычной выпарной кристаллизацией (без теплового насоса). В настоящей работе проведем сравнительный анализ работы двух установок изотермической кристаллизации: с использованием парового инжектора и без использования последнего.

Принципиальные схемы установок показаны рис.1, а. Выпарная кристаллизационная установка непрерывного действия работает следующим образом. Поток исходного раствора F с концентрацией  $x_{\scriptscriptstyle E}$ , теплоемкостью  $c_{\scriptscriptstyle E}$  и температурой  $t_{\scriptscriptstyle E0}$ трубное пространство подается подогревателя 2, где раствор нагревается до температуры  $t_{\scriptscriptstyle F}$  вторичным паром давления р. Нагретый таким образом исходный раствор поступает в кристаллизатор 1, в межтрубное пространство которого подается греющий пар давления  $p_n$ . Образовавшийся вторичный пар с температурой  $\theta$ , в количестве W, направляется: частично в подогреватель исходного частично раствора; поверхностный В конденсатор поверхностный конденсатор подается качестве холодильного агента вода расходом  $G_{e}$ , с температурой  $t_{e}$ . Вода, нагретая в конденсаторе до температуры  $t_{s}$ , выводится из процесса. Поток кристаллов в смеси с потоком маточника отводится кристаллизатора И направляется сепарацию в фильтр 3. В результате процесса фильтрования получают: поток кристаллов Kс концентрацией вещества  $x_{\kappa}$ , теплоемкостью  $c_{\kappa}$  и температурой t; и поток маточника M с концентрацией вещества  $x_{\mu}$ , теплоемкостью  $c_{M}$  и температурой t.

Использование инжектора позволяет упростить схему установки (рис. 1, б). В этом случае обогрев выпарного аппарата производится первичным греющим паром давления вместе с частью высокого вторичного пара после смешения его с первым паровом инжекторе Количество вторичного пара, увлекаемого греющим паром высокого давления в межтрубное пространство выпарного аппарата, определяется коэффициентом инжекции и. Остаток вторичного пара направляется подогрев исходного раствора. В такой схеме нет поверхностного конденсатора, следовательно, нет центробежного 5 насоса ДЛЯ подачи охлаждающей воды в конденсатор.

C целью упрощения сопоставления рассматриваемых установок положим, что в той и другой установке одинакова доля потока вторичного пара, которая может быть использована ДЛЯ подогрева исходного раствора, а поступающий на кристаллизацию раствор имеет одинаковую температуру раствора t<sub>F</sub>.



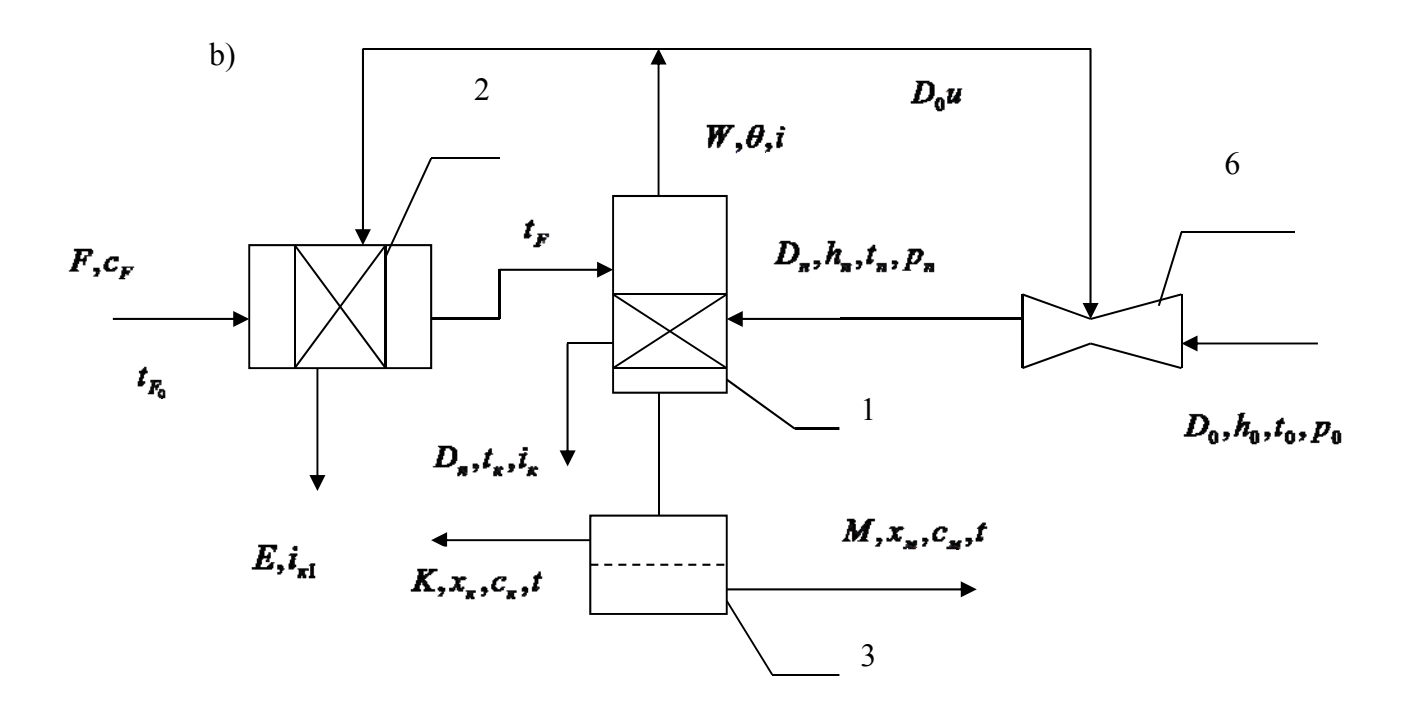


Рис 1. Принципиальная схема установки выпарной кристаллизации: а) обычный вариант; b) с паровым инжектором.

Для энергетического сопоставления схем воспользуемся коэффициентом относительного расхода топлива  $\varepsilon$ , который представляет собой отношение полных расходов топлива в обычной схеме и в схеме с тепловым насосом [3].

$$e = B_1/B_2 \tag{1}$$

где  $B_I$  — расход топлива в обычной схеме;  $B_2$  — расход топлива в схеме с тепловым насосом.

Величины  $B_1$  и  $B_2$  соответственно равны:

$$B_{I} = b_{I} Q_{I} + b_{3} N_{H} \tag{2}$$

$$B_2 = b_2 Q_2. (3)$$

При этом:  $b_1$  - удельный расход топлива, затрачиваемого на производство единицы теплоты, подводимой водяным паром давления  $p_n$  в кристаллизаторе;  $b_2$  удельный расход топлива на единицу теплоты, подводимой водяным паром давления  $p_0$  в инжекторе;  $b_{_{9}}$  - удельный расход топлива на выработку электроэнергии учетом потерь c электросети;  $Q_1$  количество тепла, подведенное В греющую камеру кристаллизатора с греющим паром, равное произведению  $D_n(h_n - i_k)$ ;  $Q_2$  - количество тепла, внесенное в греющую камеру с первичным греющим паром в схеме с тепловым насосом, равное произведению  $D_0(h_0 - i_k);$  $N_{u}$  мощность электродвигателя центробежного насоса, предназначенного для подачи конденсатор вторичного пара обычной схемы.

Эффективность теплового насоса часто оценивают коэффициентом преобразования  $\varphi$  [4], представляющий собой отношение теплового потока  $Q_1$ , подведенного к нагреваемому объекту (кристаллизатору), к мощности воздействия первичного греющего пара на рабочее тело (вторичный пар),  $Q_2$ . Используя коэффициент  $\varphi$ , зависимость между тепловыми потоками  $Q_1$  и  $Q_2$  можно представить как:

$$Q_2 = \frac{Q_1}{\varphi} \tag{4}$$

Мощность двигателя центробежного насоса может быть также выражена через мощность  $Q_1$ . В самом деле, указанная мощность рассчитывается по формуле

$$N_{_{H}} = \frac{HG_{_{\theta}}g}{\eta_{_{H}}} \tag{5}$$

где H - потребный напор;  $G_{s}$  - расход охлаждающей воды;  $\eta_{H}$  - коэффициент полезного действия насосной установки.

В свою очередь, расход охлаждающей воды может быть найден из уравнения теплового баланса конденсатора:

$$G_{e} = \frac{D_{0}u(i - i_{\kappa 2})}{c_{e}(i_{e} - i_{e})} \tag{6}$$

где і — энтальпия вторичного пара:  $i_{\kappa 2}$  — энтальпия конденсата вторичного пара ;  $D_{\theta}$  — расход первичного греющего пара высокого давления; и — коэффициент инжекции, представляющий собой отношение потоков  $(W-E)/D_{\theta}$ ;  $c_{\theta}$  - теплоемкость воды.

С учетом уравнений материального баланса инжектора и теплового баланса кристаллизатора выразим  $D_{\scriptscriptstyle 0}$  через тепловой поток  $Q_{\scriptscriptstyle 1}$  .

$$D_n = D_0(1+u) \tag{7}$$

$$Q_1 = D_n(h_n - i_k) \tag{8}$$

$$D_0 = \frac{Q_1}{(h_n - i_k)(1 + u)} \tag{9}$$

В результате совместного решения уравнений (5),(6),(9) получим:

$$N_{H} = \frac{HgQ_{1}u(i - i_{\kappa 2})}{\eta_{H}(h_{n} - i_{\kappa})(1 + u)c_{g}(t_{g}^{"} - t_{g}^{'})}$$
(10)

Рассмотрев совместно уравнения (1) - (4), (10) и обозначив отношение удельных расходов топлива  $b_1/b_2$  через m, получим:

$$s = \varphi \left[ m + \frac{b_e Hgu(i - i_{\kappa 2})}{b_2 \eta_{\kappa} (h_n - i_k)(1 + u)c_{\kappa} (t_{\kappa} - t_{\kappa})} \right] (11)$$

Коэффициент преобразования может быть найден по формуле (4) с учетом выражений (7), (8) и (9).

(4) 
$$\varphi = \frac{(h_n - i_{\kappa})(1 + u)}{(h_0 - i_{\kappa})}$$
 (12)

Основным параметром парового инжектора является коэффициент инжекции, u, расчет которого выполняют по формуле:

$$u = \varphi_1 \varphi_2 \varphi_3 \sqrt{\frac{h_{a\partial}^{;}}{h_{a\partial}^{"}}} - 1 \tag{13}$$

где  $\varphi_1, \varphi_2$  и  $\varphi_3$  - коэффициенты потери скорости пара в инжекторе на участках, соответственно, - сопла, камеры смешения и камеры сжатия [5]. Формула содержит отношение адиабатических перепадов энтальпий. В числителе этого отношения содержится адиабатический перепад энтальпий на участке сопла,  $h_{ao}$ . В знаменателе отношения — адиабатический перепад энтальпий на участке камеры сжатия,  $h_{ao}^{'}$ .

Увеличение степени сжатия вторичного пара за счет изменения давления  $p_n$ ,  $n=\frac{p_n}{p}$ , ведет к уменьшению отношения адиабатических перепадов энтальпий в инжекторе. Коэффициент инжекции при этом уменьшается. С другой стороны уменьшение степени сжатия ограничено минимальной полезной разностью температур кристаллизатора

$$\Delta_{\min} = t_n - \theta - \delta_t \tag{14}$$

где  $t_n$ - температура греющего пара в насыщенном состоянии;  $\delta_t$ - температурная депрессия кипящего раствора.

целью определения характера влияния степени сжатия вторичного пара, отношения удельных расходов топлива т , напора центробежного насоса обычной схемы кристаллизации на величины  $B, \varphi$  и  $\varphi_{\scriptscriptstyle \it PD}$  проведем численный эксперимент. В качестве объекта исследования рассмотрим процесс кристаллизации NaCl из водного раствора. Давление первичного пара  $p_0$ зафиксируем на уровне 1,18 МПа. Инжектирующий пар подается в камеру смешения инжектора В перегретом состоянии. Температура инжектирующего (первичного) пара  $t_0$  равна 300  ${}^{0}$ С. Раствор поваренной соли кипит в кристаллизаторе при атмосферном давлении p=0,1013 МПа. Концентрация соли в растворе составляет 28,5%. Температура кипения раствора равна 108,7  $^{0}$ С. Минимальную полезную разность температур примем равной 2  $^{0}$ С. Удельный расход топлива на выработку электроэнергии с учетом потерь в электросети,  $b_e$ , составляет 198,6 кг/ГДж [3].

Отметим некоторую неполноту исходных данных. литературе отсутствует дифференциальная оценка удельного расхода топлива на единицу теплоты подводимой водяным паром  $b_2$  в зависимости от давления этого пара. Так, в Янтовского [3] приводится значение  $b_2 = 41.8$  кг /ГДж без указания давления пара. С целью преодоления неполноты исходных данных положим, в ходе эксперимента отношение  $\frac{b_1}{1} = m$  принимает следующие значения: 1; 0,6; а  $b_2 = 41,8$  кг/ГДж.

Об эффективности использования парового инжектора в установке выпарной кристаллизации судили по величине отношения полных расходов топлива в обычной схеме и в схеме с паровым инжектором,  $\epsilon$ . При  $\epsilon > 1$  схема с паровым инжектором имеет преимущество.

Результаты расчета представлены на рисунках 2,3 и 4.

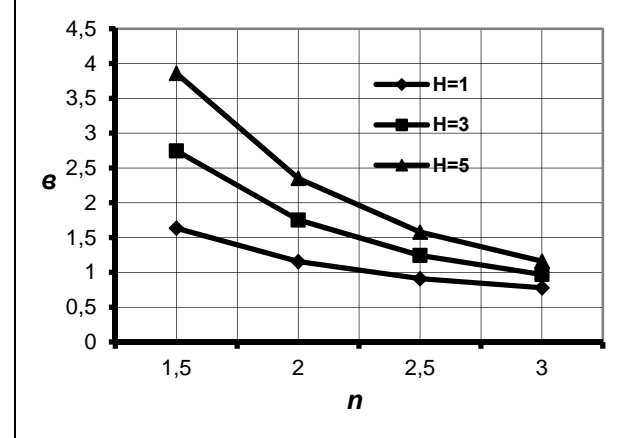
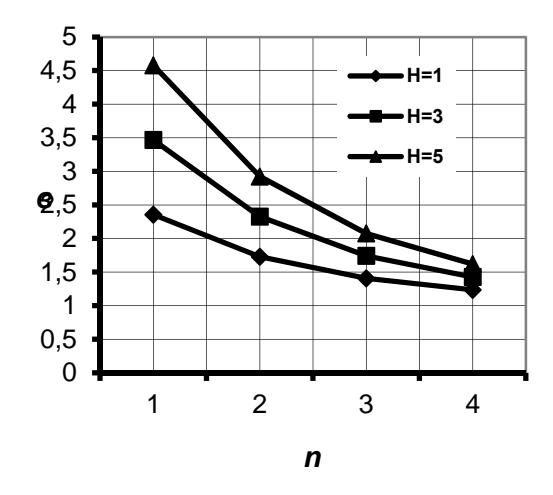


Рис. 2. Влияние степени сжатия вторичного пара на эффективность использования инжектора в установке изотермической кристаллизации при m=0,6.



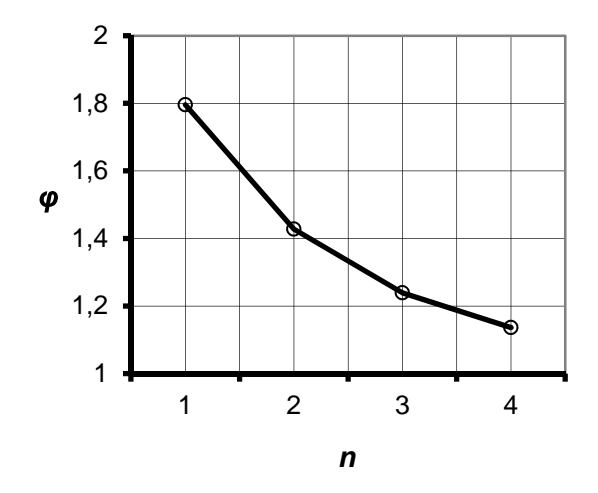


Рис. 3. Влияние степени сжатия вторичного пара на эффективность применения инжектора в установке изотермической кристаллизации при m=1.

Рис 4. Влияние степени сжатия вторичного пара на коэффициент преобразования энергии

полученных Анализ результатов показывает, что эффективность использования инжектора парового повышается: уменьшением степени сжатия вторичного пара, п; с увеличением отношения удельных расходов топлива в обычной схеме и в схеме с насосом, m; увеличением тепловым c потребного напора для подачи охлаждающей воды в конденсатор вторичного пара схемы без теплового насоса, H.

Практически на всем диапазоне исследованных параметров процесса установка выпарной кристаллизации с паровым инжектором экономически предпочтительнее установки, не снабженной паровым инжектором.

## ЛИТЕРАТУРА:

- 1. Н.И. Гельперин. Основные процессы и аппараты химической технологии. М.: Химия, 1981, 812 с.
- 2. Г.А. Носов, В.М. Мясоеденков, Н.Л. Бангура. Вакуумная кристаллизация с тепловым насосом. Моск. гос. академия тонк. хим. техн. М., 2000, деп. в ВИНИТИ. №3027-В00 от 28.11.2000.
- 3. Е.И. Янтовский, Л.А. Левин. Промышленные тепловые насосы. М.: Энергоавтомиздат, 1989, 128 с.
- 4. А.В. Чечеткин, Н.А. Занемонец. Теплотехника. М.: Высшая школа, 1986, 344 с.
- 5. И.И. Чернобыльский. Машины и аппараты химических производств. М.: Машиностроение, 1975, 454 с.